

## تعیین شرایط بهینه تولید پتیدهای صداکسایش حاصل از هیدرولیز پروتئین هسته پرتقال با آنزیم آلکالاز

سیده نرگس مظلومی<sup>۱</sup>، علیرضا صادقی ماهونک<sup>۲\*</sup>، محمد قربانی<sup>۳</sup>، غلامرضا هوشمند<sup>۴</sup>

- ۱- دانشجوی دکتری علوم و صنایع غذایی- شیمی مواد غذایی، دانشکده صنایع غذایی دانشگاه گرگان
- ۲- دانشیار علوم و صنایع غذایی- شیمی مواد غذایی، دانشکده صنایع غذایی دانشگاه گرگان
- ۳- دانشیار علوم و صنایع غذایی- شیمی مواد غذایی، دانشکده صنایع غذایی دانشگاه گرگان
- ۴- استادیار گروه فارماکولوژی، دانشکده پزشکی، دانشگاه علوم پزشکی مازندران

(تاریخ دریافت: ۹۷/۱۰/۲۲ تاریخ پذیرش: ۹۸/۰۱/۳۱)

### چکیده:

استفاده از آنزیم جهت هیدرولیز منابع پروتئینی از روش‌های معمول در فرآوری غذایی به حساب می‌آید. یک ترکیب پروتئین یهیدرولیز شده مخلوطی از پتیدها و اسیدهای آمینه‌ای می‌باشد که از انجام عمل هیدرولیز توسط آنزیم از منابع مختلف، اسید یا قلیاً حاصل شده است. هسته پرتقال به میزان زیادی از ضایعات صنایع تولید آبمیوه قابل دست‌یابی است و آرد چربی‌گیری شده آن، حدود ۲۶ درصد پروتئین دارد و می‌تواند به عنوان منبع غنی و مفرون به صرفه برای تولید پروتئین‌ها و پتیدهایی با منشاء گیاهی مورد استفاده قرار گیرد. در این پژوهش ابتدا استخراج ایزوله پروتئین با خلوص بالا صورت گرفت، سپس با استفاده از اثر آنزیم هیدرولیز کننده آلکالاز در نسبت‌های مختلف آنزیم (۱ تا ۳٪ حجمی- وزنی آنزیم به سوبیسترا) و بازه زمانی (۲ تا ۵ ساعت) در دمای ۴۵-۵۵ درجه سانتیگراد و pH مناسب برای فعالیت آنزیم، پروتئین آرد چربی‌گیری شده هسته پرتقال هیدرولیز شد و شرایط بهینه برای تولید پروتئین‌های هیدرولیز شده دارای بالاترین ویژگی‌های آنتی‌اکسیدانی (قدرت مهار کنندگی رادیکال OH، قدرت احیا کنندگی Fe<sup>3+</sup> و ویژگی آنتی‌اکسیدانی کل) انتخاب شد. تیمار بهینه در شرایط دمایی (۴۵ درجه سانتی‌گراد، زمان ۵۴/۸ ساعت) و نسبت غلظت آنزیم به سوبیسترا (۱/۷ درصد حجمی- وزنی) با مقادیر ۴۵/۸۵ درصد قدرت مهار رادیکال‌های آزاد DPPH، ۹۱/۸۲ درصد قدرت مهار رادیکال‌های OH، ۸۹/۳۵ قدرت احیا کنندگی Fe<sup>3+</sup> و ۳۹/۷۸ درصد ظرفیت آنتی‌اکسیدانی کل، بر مبنای روش بهینه سازی سطح پاسخ تعیین شد. آزمون‌های آنتی‌اکسیدانی به منظور تأیید مقادیر پیشنهاد شده توسط نرم افزار، بر تیمار بهینه صورت گرفت. نتایج نشان داد که پروتئین هیدرولیز شده حاصل از هسته پرتقال می‌تواند در فرمولاسیون مواد غذایی به عنوان افزودنی طبیعی با قابلیت آنتی‌اکسیدانی و نیز استفاده به عنوان دارو قابلیت کاربرد داشته باشد.

**کلید واژگان:** پروتئین، هیدرولیز، پتید، آنتی‌اکسیدان، هسته پرتقال، دارو.

\*مسئول مکاتبات: sadeghiaz@yahoo.com

و نیز وجود گروههایی در زنجیره جانبی اسیدهای آمینه یا هیدرولیز شده‌های تولید شده‌گارش شد و نیز این ترکیبات به طور ترجیحی به رادیکالهای آزاد اسیدهای چرب متصل شده و از این طریق از فرآیند اکسیداسیون جلوگیری می‌کنند [۱۰]. تأثیر فرآیند هیدرولیز توسط آلکالاز و فلیورزایم بر قدرت ضد اکسایش پروتئین کانولا توسط کومبی و همکاران (۲۰۰۸) نشان داد، پیتیدهای تولیدی دارای قدرت ضد اکسایش به ویژه با خاصیت مهار رادیکالهای آزاد و فعالیت باند کنندگی فلزات بودند. هیدرولیز شده‌های تولیدی توسط فلیورزایم دارای قوی‌ترین قدرت ضد اکسایش بودند، در حالی که پیتیدهای تولیدی از فعالیت توانم فلیورزایم و آلکالاز تفاوتی از نظر قدرت ضد اکسایش با پیتیدهای حاصل از فعالیت آلکالاز به تنها نداشتند. ویریافان و همکاران (۲۰۱۲) و خانتافت و همکاران (۲۰۰۸) نیز گارش کرده‌اند که پیتیدهای به دست آمده از هیدرولیز پروتئین‌های غذایی توسط پیسین، تریپسین و آلکالاز دارای ویژگی‌های آنتی‌اکسیدانی بالایی می‌باشند [۱۱] و [۱۲]. بوگاتف و همکاران (۲۰۱۰) در بررسی خصوصیات آنتی‌اکسیدانی هیدرولیز شده‌های پروتئین‌های فرآورده‌های جانبی ساردين که فعالیت آنتی‌اکسیدانی محصول استفاده کردند. آن‌ها نشان دادند که افزایش درجه هیدرولیز شده پروتئین ضایعات ماهی ساردين با افزایش درجه هیدرولیز افزایش می‌یابد و نیز پیشنهاد کردن که پیتیدهای کوتاه زنجیر، آنتی‌اکسیدان‌های بهتری در مقایسه با پیتیدهای بلند زنجیر هستند [۱۳]. گئوار و همکاران (۲۰۰۲) اعلام کردند که با افزایش غلظت آنزیم، میزان تولید پیتیدهای آنتی‌اکسیدان افزایش می‌یابد. همچنین آن‌ها بیان داشتند با افزایش زمان هیدرولیز، درجه هیدرولیز افزایش می‌یابد و از شدت و سرعت هیدرولیز، به دلیل کاهش باندهای پیتیدی در دسترس آنزیم، کاهش فعالیت آنزیم و شکل‌گیری ممانعت کننده‌ها کاسته می‌شود [۱۴]. جی و همکاران (۲۰۰۹) که ضایعات ماهی تن را با استفاده از آنزیم آلکالاز هیدرولیز کردند، اعلام داشتند که میزان فعالیت آنزیم آلکالاز، با افزایش مقدار آنزیم افزایش می‌یابد. آن‌ها اعلام کردند که پیتیدهای با وزن مولکولی بین ۱ تا ۳ کیلودالتون بیشترین قدرت مهار رادیکال را دارند. آن‌ها بیشترین میزان دهانه رادیکال DPPH را حدود ۱۰۰ درصد گزارش کردن و نیز اعلام کردند که فعالیت آنتی‌اکسیدانی پیتیدهای تولید شده تا حدود

## ۱- مقدمه

پروتئین‌ها برای سلامتی بسیار مهم و حیاتی می‌باشند؛ زیرا این ترکیبات نیتروژن، اسیدهای آمینه و انرژی مورد نیاز بدن را تأمین می‌کنند. اما کاربردهای پروتئین‌ها به دلیل برخی ویژگی‌های خاص مثل حلالیت کم آن‌ها، بسیار محدود شده است. هیدرولیز پروتئین ها با رویکرد بهبود ویژگی‌های شیمیایی، عملکردی و تغذیه‌ای آن‌ها بطور گسترده در تحقیقات مورد توجه محاذ علمی قرار گرفته است [۱] و [۲]. در طی فرآیند هیدرولیز، پروتئین‌ها به پیتیدهای کوچک‌تر و اسیدهای آمینه آزاد شکسته می‌شوند. از آن جایی که هیدرولیز آنزیمی در شرایط نسبتاً ملایمی انجام می‌شوند و هیچ اسید آمینه‌ای در طول فرآیند تخریب نمی‌شود، این نوع هیدرولیز به هیدرولیز اسیدی و قلایایی بیشتر ترجیح داده می‌شود [۳]. نتایج حاصل از آزمایشات و تحقیقات نشان داده است که پیتیدهای زیست فعال در بسیاری از موارد به عنوان جایگزین طبیعی بسیاری از داروهای شیمیایی گران قیمت جهت ارتقای سلامتی انسان و پیشگیری از بیماری‌های مزمن به کار گرفته می‌شوند [۴] و [۵]. پیتیدهای زیست فعال تولید شده از پروتئین‌های گیاهی طی هیدرولیز آنزیمی دارای ویژگی‌های سلامتی بخش بالا نظیر خاصیت آنتی‌اکسیدانی (پیتیدهای مشتق شده از هیدرولیز پروتئین سویا، گندم سیاه، دانه کتان، آفتابگردان، بادام زمینی، کدو) می‌باشند [۶] و [۷] سرمه‌ی و اسماعیل (۲۰۱۰) گزارش کردن‌که پیتیدهای حاصل از هیدرولیز شده‌ها نسبت به پیتیدهای خالص، فعالیت آنتی‌اکسیدانی بیشتری اعمال می‌کنند [۸]. تاکاناکا و همکاران (۲۰۰۳) در بررسی تاثیر فعالیت آنتی‌اکسیدانی پروتئین سویا و پیتیدهای حاصل از آن به این نتایج دست یافتند که مصرف یک رژیم غذایی حاوی ۲۰٪ پروتئین سویا و هیدرولیز آن یک اثر بازدارنده‌ی معنی‌دار بر مواد واکنش دهنده با تیوبارتیوریک اسید (TBARS) در موش‌های صحرایی دارد و از طرفی گزارش شده است که پیتیدهای به دست آمده از هیدرولیز پروتئین سویا، سطح کلسترول خون را بیشتر از پروتئین دست نخورده سویا کاهش می‌دهند [۹]. طی مطالعات و پژوهش‌های انجام شده توسط لهارت و همکاران در سال ۲۰۱۱، علت اصلی جلوگیری از فرآیند اکسیداسیون در حضور پیتیدهای زیست فعال، نقش این ترکیبات زیست فعال‌دار چلاته کردن فلزها

1.Thiobarbituric acid

ابتدا کنجاله پس از تهیه تمیز شده و مواد خارجی آن حذف شد، سپس توسط دستگاه آسیاب Perten,3100 آلمان، به آرد تبدیل و از الک با مش ۳۰ عبور داده شد. آرد کامل حاصل به مدت ۴ ساعت (در دو نوبت) با حلال n-Hگزان با خلوص بیش از ۹۵٪ با نسبت ۱۰ به ۱ چربی گیری و در دمای اتاق به مدت ۴۸ ساعت تا رطوبت (۷/۱۳ درصد) خشک شد و مجدداً از الک با مش ۷۰ عبور داده شد و در نهایت آرد چربی گیری شده تا مرحله استخراج پروتئین در دمای فریزر ۱۸- درجه سانتی گراد نگه داری شد [۱۹ و ۲۰]. اندازه گیری ترکیبات تشکیل دهنده هسته پرتقال و کنجاله چربی گیری شده با استفاده از روش AOAC (روش ۹۸۳/۲۳، سال ۱۹۹۰) انجام گرفته شد [۲۱].

## ۲-۲ تعیین الگوی حلالیت پروتئین کنجاله هسته

### پرتقال به روش برادفورد

حالیت پروتئین کنجاله هسته پرتقال مطابق روش کنیسلابا اندکی تغییرات بررسی شد [۲۲]. به منظور تعیین الگوی حلالیت، سوسپانسیون‌هایی از کنجاله چربی گیری شده در آب مقطراً با نسبت (۱:۲۰؛ حجمی/حجمی) تهیه شد. سوسپانسیون حاصل به مدت یک ساعت در دمای اتاق مخلوط، سپس pH سوسپانسیون توسط سود و اسید کلریدریک یک نرمال در ۱۲ سطح (۱، ۲، ۳، ۴، ۵، ۶، ۷، ۸، ۹، ۱۰، ۱۱، ۱۲) توسط pH متر (مدل UB-10 ساخت کشور ایران) تنظیم و به مدت ۶۰ دقیقه در pH ثابت مخلوط شد. سوسپانسیون حاصل به مدت ۱۵ دقیقه در دمای ۴ درجه سانتی گراد و دور ۱۲۰۰۰ rpm توسط سانتریفیوز یخچال‌دار (Hanol, combi 514R) (Hanol, combi 514R) سانتریفیوژ شده و سوپرناتانت حاصل جدا شد. سوپرناتانت حاصل از کاغذ صافی (واتمن شماره ۴۱) عبور داده شد و سپس میزان حلالیت پروتئین، به روش برادفورد [۲۳] در طول موج ۵۹۵ نانومتر اندازه گیری شد. به این ترتیب که ابتدا ۱۰۰ میکرولیتر از سوپرناتانت به ۵ میلی لیتر معرف برادفورد اضافه شد و جذب آن در طول موج برادفورد ۵۹۵ نانومتر خوانده شد. همچنین ۱۰۰ میکرولیتر آب مقطر نیز به طور جداگانه به ۵ میلی لیتر معرف برادفورد افزوده و برای صفر کردن استفاده گردید. برای تهیه منحنی استاندارد از غلظت‌های مختلف آلبومین سرم گاوی BSA شرکت مرک استفاده شد. برای این کار ابتدا محلول غلیظ (یک میکروگرم در ۱۰ میلی لیتر) از BSA ساخته، سپس از این محلول غلظت‌های

زیادی تحت تاثیر ترکیب آمینواسیدهای تشکیل دهنده آنها قرار دارد [۱۵].

میوه پرتقال، از گونه مركبات (*citrus*) و خانواده (*Rutaceae*) می‌باشد که در کشورهای مدیرانه‌ای به میزان قابل توجهی تولید می‌گردد [۱۶]. نتایج حاصل از مطالعات نشان داده است که هسته مركبات منابع غنی و با ارزشی از پروتئین و روغن‌های گیاهی و خوراکی می‌باشد و این میزان پروتئین در مقدار ۱۷/۹-۲۶/۵٪ بر اساس وزن خشک متغیر می‌باشد [۱۷]. همچنین بر اساس نتایج حاصل از تحقیقات انجام شده، مشخص شده است که هسته پرتقال دارای مقدار مناسبی از مواد معدنی، از جمله کلسیم و روی نیز می‌باشد؛ در نتیجه از آرد چربی گیری شده حاصل از هسته پرتقال می‌توان به عنوان مواد افزودنی موثر در غذاها استفاده کرد؛ همچنین مقدار اسیدهای آمینه آبگیریز در این هسته زیاد است، از این‌رو انتظار می‌رود این گیاه برای تولید پروتئین‌های هیدرولیز شده منبع مناسبی باشد [۱۸].

تاکنون براساس اطلاعات موجود، تحقیقی در زمینه هیدرولیز پروتئین از آرد چربی گیری شده هسته پرتقال توسط آنزیمهای پروتئازی صورت نگرفته است؛ لذا در این تحقیق سعی شده استپروتئین آرد چربی گیری شده هسته پرتقال جهت تولید پروتئین‌های هیدرولیز شده با کیفیت مناسب و خاصیت سلامتی بخش بالا (ویژگی آنتی‌اکسیدانی بالا) توسط آنزیم آکالاز، مورد هیدرولیز قرار گیرد و ویژگی آنتی‌اکسیدانی این پروتئین‌های هیدرولیز شده نیز در محیط برون تنی، مورد ارزیابی قرار گیرد.

## ۲- مواد و روش‌ها

مواد اولیه تهیه شده این پژوهش (هسته پرتقال) (*Citrus sinensis*) از ضایعات حاصل از شرکت تعاضی کشاورزی با غذاران مركبات رامسر- کارخانجات کشت و صنعت کوثر تهیه گردید. تمام مواد شیمیایی به کار برده شده این پژوهش از شرکت مرکتهیه شدند و از درجه آزمایشگاهی برخوردار بودند.

### ۲-۱-۱ تهیه آرد بدون چربی از کنجاله هسته

#### پرتقال

## تعیین شرایط بهینه تولید پیتیدهای ضد اکسایش حاصل از...

توسط خشک کن انجام داد (مدل FD<sub>4</sub>، سازنده شرکت اپرون کره جنوبی) خشک شدند.

### ۴-۲- تهیه پروتئین هیدرولیز شده

هیدرولیز پروتئین حاصل از آرد چربی گیری شده هسته پر تقال با آنزیم آلکالاز در دما و pH اپتیمم این آنزیم انجام شد. آنزیم با غلظت های ۱، ۲ و ۳ درصد وزنی به وزنی (آنزیم به سوبیتر) به محلول پروتئینی افزوده شده و هیدرولیز در مدت زمان های ۲ تا ۵ ساعت و دمای ۴۵-۵۵ درجه سانتی گراد و در pH=۸ در انکوباتورهای شیکردار انجام گرفت [۲۵]. در انتها در دمای ۸۵ درجه سانتی گراد به مدت ۱۰ دقیقه واکنش آنزیمی متوقف شد. در مرحله بعد برای حذف ترکیبات اضافی، سانتریفوژ کردن در ۱۲۰۰rpm به مدت ۱۵ دقیقه انجام شد و سوپرنا坦انت حاصل پس از جمع آوری جهت انجام آزمون های بهینه سازی در دمای ۲۰ درجه سانتی گراد نگه داری شد [۲۵-۲۷].

### ۵-۲- بهینه سازی فرآیند جهت دست یابی به

تیمار با بیشترین قدرت آنتی اکسیدانی سطوح مختلف متغیرهای مستقل (دمای هیدرولیز، زمان هیدرولیز و نسبت غلظت آنزیم به سوبیتر) در جدول ۱ نشان داده شده است.

تا ۵۰ میکرو گرم در میلی لیتر تهیه شد. ۱۰۰ میکرو لیتر از غلظت های استاندارد با ۵ میلی لیتر از محلول برادرافورد (با معادله خط  $y=0.001x - 0.0068$ ) ترکیب و کاملا مخلوط شد و جذب آنها در طول موج ثبت شد. جهت تهیه نمونه شاهد نیز، مقدار ۱۰۰ میکرو لیتر آب مقطر با ۵ میلی لیتر از محلول برادرافورد ترکیب شد.

### ۳-۲- تولید ایزوله پروتئین هسته پر تقال

تهیه ایزوله پروتئین هسته پر تقال مطابق روش هرکس و همکاران (۲۰۱۰) انجام گرفت [۲۶]. آرد کنجاله به نسبت ۱:۱۰ با آب مقطر مخلوط شد و در دمای محیط با سدیم هیدروکسید یک نرمال به ماکریزم pH=۱۰ حلایت (pH=۱۰) رسانده شد. نمونه حاصل به مدت یک ساعت در دمای محیط مخلوط و در ۴ درجه سانتی گراد با دور ۱۲۰۰rpm به مدت ۱۵ دقیقه سانتریفیوژ شد. سپس سوپرنا坦انت حاصل جداسازی شده و با اسید کلریدریک ۱ نرمال به نقطه ایزو والکتریک (pH=۳) رسانده شد و به مدت ۳۰ دقیقه در دمای محیط قرار گرفت. سوسپانسیون حاصل در دمای ۴ درجه سانتی گراد با دور ۱۲۰۰rpm به مدت ۱۵ دقیقه سانتریفیوژ گردید. رسوبات حاصل با ۲۰ میلی لیتر آب مقطر شستشو و

**Table 1** Levels of independent variables used to optimize the antioxidant activity of the orange seed protein hydrolyzate

Independent variables	Levels		
Enzyme to substrateratio (%)	1	2	3
Temperature (°C)	45	50	55
Time(h)	2	3.5	5

جهت هیدرولیز آنزیمی با آنزیم آلکالاز به صورت جدول در زیر ارائه شده است.

مدل های رگرسیونی (۱-۲ تا ۴-۶) به منظور پیش بینی پاسخهای مد نظر (قدرت مهار رادیکال DPPH)، قدرت مهار رادیکال OH، قدرت احیا کنندگی  $Fe^{3+}$  و ظرفیت ضد اکسایش کل

**Table 2** Regression coefficients of estimated model, by analysis of multiple regressions in order to predict the equation model of independent variables in DPPH radical scavenging activity

Variable model	Coefficient	R-Square	Adj R-Square
Intercept	27.62	0.6248	0.8974
X <sub>1</sub> -time	-0.72		
X <sub>2</sub> -tem	5.74		
X <sub>3</sub> -e/s	3.89		
X <sub>1</sub> X <sub>2</sub>	-1.90		
X <sub>1</sub> X <sub>3</sub>	7.97		
X <sub>2</sub> X <sub>3</sub>	0.16		
X <sub>1</sub> <sup>2</sup>	0.61		
X <sub>2</sub> <sup>2</sup>	11.29		
X <sub>3</sub> <sup>2</sup>	0.18		

**Table 3** Regression coefficients of estimated model, by analysis of multiple regressions in order to predict the equation model of independent variables in OH radical scavenging activity

Variable model	Coefficient	R-Square	Adj R-Square
Intercept	82.27	0.7777	0.7361
X <sub>1</sub> -time	0.8		
X <sub>2</sub> -tem	7.37		
X <sub>3</sub> -e/s	4.09		
X <sub>1</sub> X <sub>2</sub>	0		
X <sub>1</sub> X <sub>3</sub>	0		
X <sub>2</sub> X <sub>3</sub>	0		
X <sub>1</sub> <sup>2</sup>	0		
X <sub>2</sub> <sup>2</sup>	0		
X <sub>3</sub> <sup>2</sup>	0		

**Table 4** Regression coefficients of estimated model, by analysis of multiple regressions in order to predict the equation model of independent variables in Ferric Reducing activity

Variable model	Coefficient	R-Square	Adj R-Square
Intercept	0.88	0.9023	0.8143
X <sub>1</sub> -time	0.013		
X <sub>2</sub> -tem	0.016		
X <sub>3</sub> -e/s	-4.5		
X <sub>1</sub> X <sub>2</sub>	-0.083		
X <sub>1</sub> X <sub>3</sub>	-0.098		
X <sub>2</sub> X <sub>3</sub>	-0.065		
X <sub>1</sub> <sup>2</sup>	1.90		
X <sub>2</sub> <sup>2</sup>	-0.014		
X <sub>3</sub> <sup>2</sup>	-0.056		

**Table 5** Regression coefficients of estimated model, by analysis of multiple regressions in order to predict the equation model of independent variables in total antioxidant activity

Variable model	Coefficient	R-Square	Adj R-Square
Intercept	0.38	0.6923	0.7258
X <sub>1</sub> -time	-3.10		
X <sub>2</sub> -tem	-0.046		
X <sub>3</sub> -e/s	0.017		
X <sub>1</sub> X <sub>2</sub>	1.5		
X <sub>1</sub> X <sub>3</sub>	0.016		
X <sub>2</sub> X <sub>3</sub>	0.066		
X <sub>1</sub> <sup>2</sup>	0		
X <sub>2</sub> <sup>2</sup>	0		
X <sub>3</sub> <sup>2</sup>	0		

در مقادیر واقعی)،  $b_0$  مقدار ثابت،  $b_1, b_2, b_3$  اثرات خطی،  $b_{11}, b_{12}, b_{13}$  اثرات درجه دوم،  $b_{22}, b_{23}$  و  $b_{33}$  اثرات متقابل می باشند.

پاسخ یا متغیر وابسته (فعالیت مهار کنندگی رادیکال DPPH) قدرت مهار رادیکال OH، قدرت مهار رادیکال Fe<sup>3+</sup> و ظرفیت ضد اکسایش کل پروتئین های هیدرولیز شده توسط آنزیم آلکالاز

آهن ۷ آب ۱/۸۶۵ میلی مولاری به مخلوط فوق اضافه گردید و پس از مخلوط شدن، ۱۰۰ میکرولیتر از آب اکسیژن سه درصد حجمی- حجمی نیز به محتويات فوق اضافه شد و سپس بعد از انکوبه شدن محتويات در دمای ۳۷ درجه سانتی گراد به مدت ۶۰ دقیقه، در نهايٰت جذب نمونه‌ها در طول موج ۵۳۸ نانومتر قرائت گردید و درصد قدرت مهار کنندگی راديكال هيدروکسیل از رابطه زير محاسبه شد [۳۰].

$$\text{As} = \frac{\text{قدرت مهار کنندگی راديكال هيدروکسیل}}{(\text{Ab} - \text{An})} \times 100\%.$$

= جذب نمونه As

= جذب نمونه کنترل منفي که شامل تمام ترکيبات بالا (به جز پروتئين هيدروليز شده) مي باشد.

= جذب نمونه بلانک که شامل تمام ترکيبات بالا (به جز نمونه پروتئين هيدروليز شده و آب اکسیژن) مي باشد.

#### ۶-۴- اندازه‌گيري ظرفيت ضد اکسایش کل (Total Antioxidant Capacity)

جهت انجام اين آزمون، از روش پريتو و همکاران (۱۹۹۹) با کمی تغييرات انجام شد. برای اين روش، ابتدا ۱۰۰ میکرولیتر از نمونه پروتئين هيدروليز شده با ۱۰۰۰ میکرولیتر معرف موليليات (اسيد سولفوريك ۰/۶ مولار، سديم فسفات ۲۸ ميلی مولار و موليليات آمونيوم ۴ ميلی مولار) مخلوط شده و به مدت ۹۰ دقیقه در بن ماري ۹۵ درجه سانتي گراد قرار داده شد. پس از خنک شدن نمونه‌ها، جذب نمونه‌ها در طول موج ۶۹۵ نانومتر اندازه‌گيري گردید [۳۱].

### ۳- تجزيه و تحليل آماري

به منظور بهينه سازي فرايند از نظر ويژگي ضد اکسایش، از نرم افزار Design Expert و روش سطح پاسخ با طرح مرکب مرکزي برای سه متغير مستقل غلاظت آنزيم به سوبسترا ( $X_1$ )، دما ( $X_2$ ) و زمان هيدروليز ( $X_3$ ) در سه سطح (+1، ۰، -1) استفاده گردید. پاسخ‌های مورد بررسی ويژگي مهار کنندگی راديكال آزاد DPPH، قدرت مهار کنندگی یون  $\text{Fe}^{3+}$ ، اندازه‌گيري قدرت مهار کنندگی راديكال آزاد OH و اندازه‌گيري ظرفيت ضد اکسایش کل بود. به اين منظور ۲۰ تيمار تصادفي، با در نظر گرفتن ۶ تكرار در

#### ۶-۶- آزمون‌های بهينه سازی جهت دست‌يابي به پروتئين‌های هيدروليز شده با بالاترين فعاليت آنتي اکسيدانى

##### ۶-۶-۱- اندازه‌گيري فعاليت مهار راديكال آزاد DPPH

اين آزمون بر اساس روش وانگ و همکاران (۲۰۱۳)، انجام شد. بر اين اساس، ۲ ميلی لیتر آب دیونيزه محتوى غلاظت‌های مختلفی از نمونه به همراه ۵۰۰ میکرولیتر محلول DPPH (۲ ميلی مولار) و ۱ ميلی لیتر اتانول، پس از طی شدن مدت زمان لازم (یك ساعت) در محیط تاریک، جذب نمونه‌ها در طول موج ۵۱۷ نانومتر خوانده شد [۲۸]. درصد بازدارندگی راديكال آزاد DPPH از رابطه‌ی زير محاسبه شد:

$\text{DPPH} = \frac{\text{لازم به ذکر است که نمونه محتوى آب مقطر و محلول DPPH}}{\text{به عنوان نمونه کنترل منفي در نظر گرفته شده است.}}$

$$= \frac{100 \times \text{جذب کنترل منفي}}{\text{درصد بازدارندگی}}$$

##### ۶-۶-۲- اندازه‌گيري قدرت مهار کنندگی یون $\text{Fe}^{3+}$

در اين آزمون ۱۰۰ میکرولیتر از پروتئين هيدروليز شده با ۲۵۰ میکرولیتر از بافر فسفات ۰/۲ مولار و ۲۵۰ میکرولیتر پتاسيم فري سيانيده ۱ درصد با هم مخلوط شدند و پس از هم زدن به مدت یك دقیقه، مخلوط حاصل در دمای ۵۰ درجه سانتي گراد به مدت ۲۰ دقیقه در انکوباتور (مدل MEMERT ساخت کشور آلمان) انکوبه شد. پس از سپری شدن زمان انکوباتور، به مخلوط فوق، ۲۵۰ میکرولیتر از تري كلریدريک اسيد ۱۰ درصد حجمي- وزني اضافه گردید و سپس به مدت ۱۰ دقیقه با دور ۸۱۶۰ در دمای محیط سانتريفيجو گردید. سپس ۲۵۰ میکرولیتر سوپرناrant حاصل از مرحله فوق، با ۵۰ میکرولیتر از محلول كلرید آهن (III) ۰/۱ درصد وزني- حجمي و ۲۵۰ میکرولیتر آب مقطر مخلوط گردید و پس از ۱۰ دقیقه جذب نمونه در طول موج ۷۰۰ نانومتر قرائت گردید [۲۹].

##### ۶-۳-۶- اندازه‌گيري قدرت مهار کنندگی راديكال OH

جهت انجام اين آزمون، ابتدا ۱۰۰ میکرولیتر از محلول فنانترولين ۱/۸۶۵ ميلی مولاري و ۲۰۰ میکرولیتر از نمونه پروتئين هيدروليز شده با هم مخلوط شدند. سپس ۱۰۰ میکرولیتر از محلول سولفات

نقشه مرکزی توسط نرم افزار Design Expert (نسخه ۶,۰,۲) سال ۲۰۰۰ پیشنهاد شد.

## ۴- نتایج و بحث

### ۴-۱- ترکیب شیمیایی

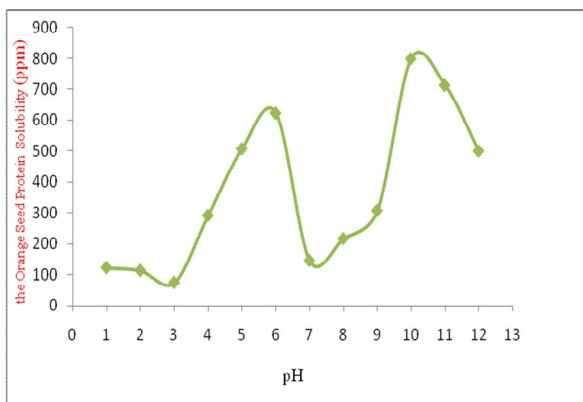
محتوای رطوبت، خاکستر، چربی، پروتئین و کربوهیدرات آرد کنجاله اولیه روغن گیری نشده و کنسانتره پروتئین هسته پرتفال دارای ۷۵/۱۲٪ پروتئین بود. این مقدار بیشتر از مقادیر گزارش شده در سایرپژوهش‌های همانند پرتفال می‌باشد [۱۸]. علت تفاوت ترکیبات شیمیایی نمونه به کار گرفته شده این پژوهش با پژوهش‌های قبل را، می‌توان به دلیل اختلاف در نوع واریته و نوع فرایند نسبت داد.

**Table 6** The chemical composition of defatted meal and the orange seed protein concentrate

Oil(%)	Protein(%)	Moisture(%)	Ash(%)	Carbohydrate(%)	Sample
43.38±0.58	22.47±3.51	7.13±0.52	2.66±0.17	24.36	Non defatted meal
0.15±5.46	75.12±1.41	8.79±0.17	1.6±0.23	9.03±0.48	orange seed protein concentrate

\*The values are based on dry weight

STDEV±\*Mean



**Fig 1** The Solubility profile of orange seed protein concentrate in different pH

در بالای نقطه ایزوالکتریک، بار خالص منفی بوده و به علت افزایش دافعه الکترواستاتیک بین پروتئین‌ها، حلایت نیز افزایش می‌یابد [۳۳-۳۵]. به طور کلی از محدوده pH ایزوالکتریک، به سمت pH‌های بالاتر، میزان حلایت افزایش می‌یابد. این رفتار، مشابه بسیاری از پژوهش‌های انجام شده در رابطه با حلایت پروتئین گیاهان مختلف می‌باشد [۳۴].

### ۴-۳- فعالیت آنتی اکسیدانی پروتئین‌های هیدرولیز شده هسته پرتفال

از زیبایی فعالیت ضد اکسیدانی تمام تیمارهای پروتئین هیدرولیز شده توسط آنزیم آلکالاز، در جدول ۷ نشان داده شده است. نتایج نشان داده است که اختلاف معنی‌داری بین فعالیت ضد اکسیدانی تیمارهای مختلف در سطح ۵ درصد وجود داشت.

### ۴-۲- حلایت پروتئین کنجاله هسته پرتفال

زاویس و همکاران (۲۰۰۶) محدوده pH=۴-۵ را برای اکثر پروتئین‌های گیاهی محدوده ایزوالکتریک دانستند [۳۲]. بر اساس نتایج منحنی حلایت پروتئین هسته پرتفال (شکل ۱)، بیشترین میزان حلایت در pH=۱۰ و کمترین میزان آن در pH=۳ (نقشه ایزوالکتریک) مشاهده شد. حلایت در مقادیر pHهای اسیدی (pH=۳,۲,۱) تا نقطه ایزوالکتریک (pH=۳) کاهش یافت، سپس در pHهای بالای نقطه ایزوالکتریک، حلایت ابتدا افزایش و سپس کاهش یافت (دومین نقطه ایزوالکتریک) و حلایت در pH=۷ به حداقل مقدار خود رسید. نتایج تجزیه و تحلیل آماری نشان داد که بین حلایت در pHهای مختلف، اختلاف معنی‌داری وجود دارد ( $p<0.05$ ). به طور کلی بیشترین حلایت در pH قلیایی و کمترین حلایت در محدوده pH اسیدی و خشی مشاهده شد.

علت این پدیده آن است که پروتئین‌ها، زمانی به صورت محلول می‌باشند که دافعه الکترواستاتیکی بین آنها بیش از واکنش‌های آنگریزی باشد. در نقطه ایزوالکتریک، پروتئین‌ها بدون بار می‌باشند، نیروهای جاذبه غالب بوده و مولکول‌ها تماشی به تجمع دارند که نتیجه آن عدم حلایت و رسوب پروتئین می‌باشد.

**Table 7** The random treatments and antioxidant activity of hydrolysed-protein of orange seed by alkalaseenzyme

total antioxidant activity	ferric reducing activity	OH-radical scavenging activity(%)	DPPH radical scavenging activity(%)	Time(Hr)	Temperature (°C)	Enzyme to substrate ratio(%)	Treatment
0.396	0.916	88.7	26.15	3.5	50	2	1
0.253	0.828	87.3	14.28	2	50	2	2
0.356	0.853	84.2	36.11	5	45	3	3
0.323	0.929	88.8	24.83	3.5	50	3	4
0.296	0.932	98.9	37.5	5	55	1	5
0.367	0.93	88.5	19.78	3.5	50	2	6
0.536	0.923	78	31.5	2	45	3	7
0.341	0.85	84.22	37.8	3.5	50	2	8
0.31	0.848	87.8	33.33	5	45	1	9
0.274	0.869	86.4	64.13	2	55	1	10
0.367	0.794	79.1	27.91	3.5	50	2	11
0.446	0.557	73.9	29.76	2	45	1	12
0.454	0.574	96.8	63.52	5	55	3	13
0.315	0.916	85.4	30.62	3.5	50	2	14
0.299	0.903	98	33.81	3.5	55	2	15
0.402	0.868	78	38.3	3.5	45	2	16
0.264	0.934	95.5	27.45	2	55	3	17
0.638	0.873	88.3	25.93	3.5	50	1	18
0.53	0.859	94.3	35.6	5	50	2	19
0.384	0.824	83.3	34.87	3.5	50	2	20

به اندازه کافی بیانگرپاسخ، با ضرایب مشخص می‌باشد. ضرایب تعیین<sup>3</sup> واقعی و تعیین تعديل شده<sup>4</sup> و عدم برآش ارزیابی کارایی مدل به منظور پیش‌بینی پاسخ‌ها به کار می‌رود. در این پژوهش میزان ضریب تعیین و ضریب تعیین تعديل شده به ترتیب برابر با ۰/۶۲۴۸ و ۰/۸۹۷۴ بود. اعداد به دست آمده برابر توصیف مناسبی از پراکندگی داده‌ها بود. همچنین جهت مناسب بودن مدل برای داده‌های این پژوهش، از آزمون عدم برآش مدل (Lack of fit) استفاده گردید که با توجه به نتایج، این فرض در  $P < 0.05$  معنی‌دار نبود. برآش خوب به این معنی است که مدل ایجاد شده تغییرات در داده‌ها را به اندازه کافی توضیح دهد [۳۶]. بنابراین این مدل جهت پیش‌بینی درمانه متغیرهای مورد استفاده مناسب بود و این مسئله بیانگر آن است که مدل به خوبی با داده‌های مربوط به فعالیت مهارکنندگی رادیکال DPPH پروتئین‌های هیدرولیز شده هسته پرتقال تطبیق دارد.

۴-۴- بهینه‌سازی فرآیند به منظور دست‌یابی به تیمار با بیشترین قدرت آنتی‌اکسیدانی توسط آنزیم آلکالاز

#### ۴-۱ بررسی قدرت مهار کنندگی رادیکال DPPH

معادله زیر با توجه به ضرایب رگرسیونی و معنی‌داری ضرایب برای پاسخ مدنظر (خاصیت مهارکنندگی رادیکال DPPH) ارائه شد:

= فعالیت مهار رادیکال

$$27.62 - 0.72(X_1) + 5.74(X_2) + 3.89(X_3) - 1.90(X_1X_2) + 7.97(X_1X_3) + 0.16(X_2X_3) + 0.61 X_1^2 + 11.29 X_2^2 + 0.18 X_3^2$$

که در این معادله، ( $X_1$ ) به عنوان غلظت آنزیم به سوبسترا، ( $X_2$ ) به عنوان دمای هیدرولیز و ( $X_3$ ) به عنوان زمان انجام هیدرولیز گزارش شده است.

آزمون ANOVA مشخص نمود که مدل چندجمله‌ای درجه دوم

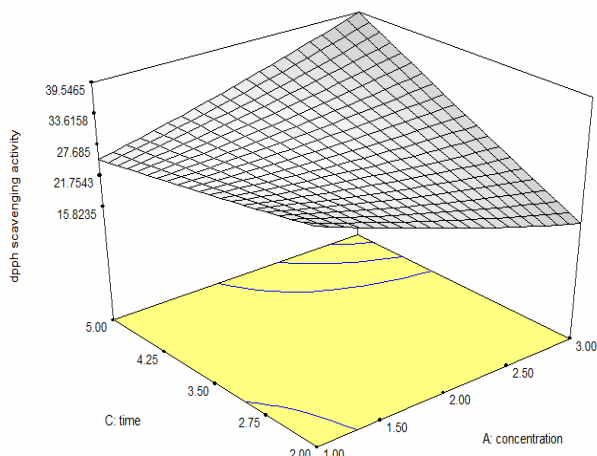
3. R Square

4. Adjusted R Square

**Table 8** Analysis of variance (ANOVA) of quadratic model resulted by response surface method for DPPH radical scavenging activity

Lack of fit	Adj R- Square	R- Square	F value	Mean square	Sum of squares	Degree of freedom	Source
0.5524	0.8974	0.6248	1.85	190.76	1716.74	9	Model
			0.051	5.24	5.24	1	A-time
			3.20	329.59	329.59	1	B-tem
			1.47	151.63	151.63	1	C-e/s
			0.28	416.36	28.80	1	AB
			4.93	784.09	507.85	1	AC
			1.92	194.79	0.20	1	BC
			0.010	1.04	1.04	1	A <sup>2</sup>
			3.40	350.53	350.53	1	B <sup>2</sup>
			8.16	0.084	0.084	1	C <sup>2</sup>

آنژیم آلکالاز، که توسط جی و همکاران (۲۰۰۹) انجام شده بود، نشان داد که فرآیند هیدرولیز با افزایش مقدار آنژیم و نیز افزایش میزان غعالیت آنژیم، پیشرفت می‌نماید [۴۰].



**Fig 2** 3D graph for the effect of concentration of alkalase enzyme and the hydrolysis time on the DPPH radical scavenging activity when the hydrolysis temperature was at optimum value (50 °C).

به طور کلی با افزایش زمان هیدرولیز و غاظت آنزیم، درجه هیدرولیز افزایش می‌یابد و باعث تولید پیتیدهای کوچکتر با وزن مولکولی کمتر و زنجیره کوتاه‌تر می‌گردد. بسته به وزن مولکولی، بار و ساختار فضایی زنجیره انتهایی پیتیدهای تولید شده، قدرت به دام انداختن رادیکال آزاد در آن‌ها نیز افزایش‌یافته باشد.<sup>[۳۸]</sup> نتایج حاصل از آزمایشات یان و همکاران (۲۰۱۵)، نشان داده است که پروتئین‌های هیدرولیز شده با وزن مولکولی پایین و در محدوده ۱-۳ کیلو دالتون پیشترین قدرت مهار رادیکال را دارند.<sup>[۴۱]</sup> به

۴-۱-۱-۴- بررسی تغییرات قدرت مهار رادیکال DPPH با تغییر در غلظت آنزیم آلکالاز به سوبسترا و زمان هیدرولیز نمودار سه بعدی تاثیر غلظت آنزیم آلکالاز به سوبسترا و دمای هیدرولیز، غلظت آنزیم آلکالاز به سوبسترا و زمان هیدرولیز و دما و زمان هیدرولیز در شکال های ۲ تا ۴ آورده شده است.

نمودار سه بعدی تاثیر غلظت آنزیم آلکالاز به سویسترا و زمان هیدرولیز (در دمای بهینه ۵۰ درجه سانتی گراد) بر فعالیت مهار کنندگی رادیکال DPPH نشان می‌دهد که اثر متقابل غلظت آنزیم به سویسترا و زمان هیدرولیز بر فعالیت مهار کنندگی آنزیم دار بوده و افزایش غلظت آنزیم به سویسترا در زمان‌های کم، منجر به کاهش و در غلظت‌های پایین آنزیم به سویسترا، با افزایش زمان هیدرولیز، افزایش فعالیت مهار کنندگی رادیکال DPPH مشاهده شد و افزایش زمان هیدرولیز، به طور مداوم منجر به افزایش فعالیت مهار کنندگی شد و بیشترین فعالیت مهار کنندگی در غلظت ۳ درصد آنزیم به سویسترا و زمان ۵ ساعت هیدرولیز مشاهده گردید. گثوارد و همکاران (۲۰۰۲) اعلام کردند که بین میزان هیدرولیز و میزان تولید پروتئین‌های هیدرولیز شده با غلظت آنزیم یک رابطه خطی وجود دارد؛ به طوری که با افزایش غلظت آنزیم، میزان تولید پروتئین‌های هیدرولیز شده با خاصیت آنتی اکسیدانی افزایش می‌یابد [۳۷]. به طور کلی آنزیم آلکالاز در مقایسه با برخی از پروتئازها، دارای بازده بالاتری در پیشرفت هیدرولیز و تولید پروتئین‌های هیدرولیز شده با طول زنجیره کوتاه‌تر و ویژگی‌های آنتی اکسیدانی بهتری می‌باشد (۳۸). نتایج حاصل از هیدرولیز ضایعات ماهی تن توسط

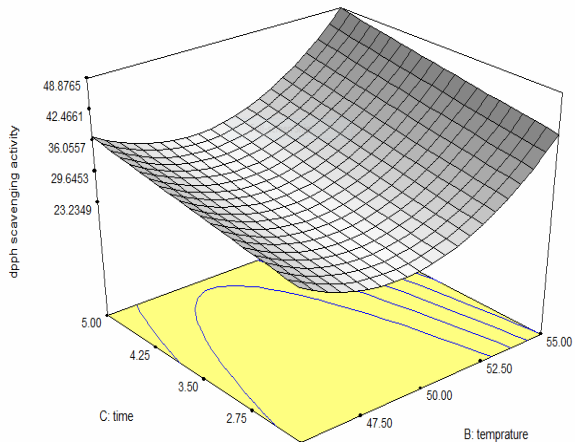
## تعیین شرایط بهینه تولید پپتیدهای ضد اکسایش حاصل از...

فعالیت رادیکال‌های آزاد از طریق اسیدهای آمینه خاص در زنجیره جانی پروتئین‌های هیدرولیز شده می‌باشد [۴۲].

### ۴-۳-۱-۳-بررسی تغییرات قدرت مهار رادیکال DPPH با تعیین زمان و دمای هیدرولیز

نمودار سه بعدی تاثیر زمان و دمای هیدرولیز (در غلظت آنزیم آکالاز به سوبسترا بهینه ۲ درصد) بر فعالیت مهارکنندگی رادیکال DPPH (شکل ۴) نشان می‌دهد که افزایش زمان تاثیر معنیداری بر فعالیت مهارکنندگی رادیکال DPPH نداشت؛ اما افزایش دمای هیدرولیز، ابتدا منجر به کاهش و سپس افزایش فعالیت مهارکنندگی رادیکال DPPH شد و دمای بالاتر تاثیر بیشتری بر فعالیت مهارکنندگی DPPH داشت بطوری که بیشترین فعالیت مهارکنندگی در دمای ۵۵ درجه سانتی‌گراد مشاهده گردید. بنابراین بهتر است برای دست‌یابی به بیشترین میزان قدرت مهار رادیکال DPPH، از دمای هیدرولیز بالا و زمان متوسط (۳/۵ ساعت) استفاده کرد. نتایج حاصل از آزمایشات نشان داده است که پروتئین‌های هیدرولیز شده با وزن مولکولی پایین، فعالیت آنتی‌اسیدانی بیشتر از خود نشان می‌دهند [۴۳]. نتایج حاصل از هیدرولیز پروتئین بادام توسط آنزیم آکالاز نشان داده است که با افزایش درجه‌ی هیدرولیز از ۱۰ درصد به ۲۰ درصد، فعالیت مهارکنندگی رادیکال‌های

آنژ افزایش می‌یابد [۴۴].



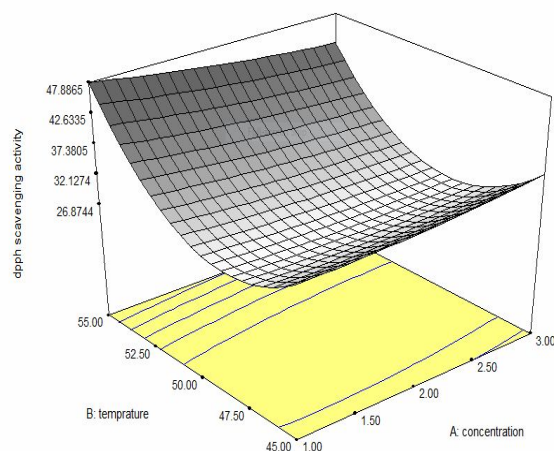
**Fig 4** 3D graph for the effect of hydrolysis time and temperature on the DPPH radical scavenging activity when the concentration of alkalase enzyme was at its optimum value (2 %).

طور کلی پپتیدهای حاوی اسید آمینه هیستیدین با دادن هیدرولیز و یا به دام انداختن رادیکال‌های پروکسیل، باعث ایجاد فعالیت آنتی‌اسیدانی شده و نیز حضور اسید آمینه‌های محتوی گروه SH نظیر اسید آمینه‌ی سیستین، باعث ایجاد فعالیت آنتی‌اسیدانی بسیار مناسب از طریق واکنش مستقیم با رادیکال‌های آزاد می‌شود [۳۹].

### ۴-۴-۱-۲-بررسی تغییرات قدرت مهار رادیکال DPPH با

تغییر در نسبت آنزیم به سوبسترا و دمای هیدرولیز

نمودار سه بعدی تاثیر غلظت آنزیم آکالاز به سوبسترا و دمای هیدرولیز (در زمان بهینه ۳/۵ ساعت) بر فعالیت مهارکنندگی رادیکال DPPH (شکل ۳) نشان می‌دهد که افزایش غلظت آنزیم آکالاز تاثیر معنیداری بر فعالیت مهارکنندگی رادیکال DPPH نداشت؛ اما افزایش دمای هیدرولیز، ابتدا منجر به کاهش و سپس افزایش فعالیت مهارکنندگی DPPH در دمای ۵۵ درجه سانتی‌گراد بیشترین فعالیت مشاهده گردید. بنابراین بهتر است برای دست‌یابی به بیشترین میزان قدرت مهار رادیکال DPPH، از دمای هیدرولیز بالا و غلظت‌های متوسط آنزیم استفاده کرد.



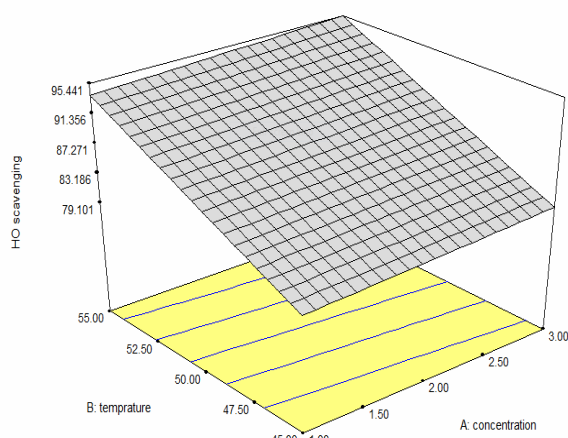
**Fig 3** 3D graph for the effect of concentration of alkalase enzyme and the hydrolysis temperature on the DPPH radical scavenging activity when the hydrolysis time was at its optimum value (3.5 Hr).

نتایج حاصل از تحقیقات نشان داده است که فعالیت آنتی‌اسیدانی پروتئین‌های هیدرولیز شده‌ی حاصل از هیدرولیز آنزیمی، مربوط به چالانه کنندگی یون‌های فلزی و پایان دادن به

که در این معادله،  $(X_1)$  به عنوان غلظت آنزیم به سویسترا،  $(X_2)$  به عنوان دمای هیدرولیز و  $(X_3)$  به عنوان زمان انجام هیدرولیز گزارش شده است. آزمون ANOVA مشخص نمود که مدل چند جمله‌ای درجه اول به اندازه کافی بیانگر پاسخ، با ضرایب مشخص می‌باشد. ضرایب تعیین واقعی و تعیین تعدلی شده عدم برآذش ارزیابی کارایی مدل به منظور پیش‌بینی پاسخ‌ها به کار می‌رود. در این پژوهش میزان ضریب تعیین و ضریب تعیین تعدلی شده به ترتیب برابر با  $0.777$  و  $0.736$  به دست آمد که اعداد به دست آمده بیانگر توصیف مناسبی از پراکنده‌گی داده‌ها بود. ضریب تعیین برابر  $0.777$  نشان‌دهنده این است که مدل رگرسیون واکنش را به خوبی توضیح داده و مدل برآذش توانسته  $77$  درصد از کل تغییرات در دامنه نتایج به دست آمده را توضیح دهد.

**Table 9** Analysis of variance (ANOVA) of quadratic model resulted by response surface method for OH radical scavenging activity

Lack of fit	Adj R- Square	R- Square	F value	Mean square	Sum of squares	Degree of freedom	Source
0.5419	0.7361	0.7777	18.66	238.95	716.85	3	Model
		-	-	-	-	1	A-time
		-	-	-	-	1	B-tem
		-	-	-	-	1	C-e/s
		-	-	-	-	-	AB
		-	-	-	-	-	AC
		-	-	-	-	-	BC
		-	-	-	-	-	$A^2$
		-	-	-	-	-	$B^2$
		-	-	-	-	-	$C^2$



**Fig 5** 3D graph for the effect of concentration of alkalase enzyme and hydrolysis temperature on the OH radical scavenging activity when the hydrolysis time was at its optimum value (3.5 hr).

نتایج حاصل از بهینه‌سازی فعالیت آنتی‌اکسیدانی پرتوئین هیدرولیز شده ماهی ساردین نشان داده است که فعالیت آنتی‌اکسیدانی تا زمانی که سه فاکتور زمان، دما و نسبت آنزیم به سوبسترا به نقطه اپتیمم خود رسید، افزایش یافته و سپس با افزایش بیشتر زمان و نسبت آنزیم به سوبسترا، کاهش یافته که این امر رابه تاثیر زمان و دما بر روی فعالیت آنزیمی نسبت دادند [۱۱].

#### ۴-۴- پرسی قدرت مهار کنندگی رادیکال OH

معادله زیر با توجه به ضرایب رگرسیونی و معنی داری ضرایب

**فعالیت مهار کنندگی رادیکال OH**

$$87.27 + 0.8 (X_1) + 7.37 (X_2) + 4.09 (X_3)$$

۴-۴- بررسی قدرت مهار کنندگی رادیکال OH معادله زیر با توجه به ضرایب رگرسیونی و معنی داری ضرایب

برای پاسخ مدنظر (قدرت مهار کنندگی رادیکال OH) ارائه شد:

## فعالیت مهار کنندگی رادیکال OH

$$87.27 + 0.8 (X_1) + 7.37 (X_2) + 4.09 (X_3)$$

#### ۴-۴-۲-۱- بررسی تغییرات قدرت مهار رادیکال OH با تغییر

در غلظت آنژیم آلکالاز به سوبسترا و دمای هیدرولیز نمودار سه بعدی تاثیر غلظت آنژیم آلکالاز به سوبسترا و دمای هیدرولیز (در زمان بهینه ۳/۵ ساعت) بر فعالیت مهار کنندگی رادیکال OH (شکل ۵) نشان می‌دهد که تعییرات افزایش غلظت آنژیم به سوبسترا در ارتباط با فعالیت مهار کنندگی رادیکال OH از شبیه ملایمی برخوردار بود؛ اما افزایش دمای هیدرولیز، منجر به افزایش فعالیت مهار کنندگی رادیکال OH شد و بیشترین فعالیت مهار کنندگی OH در دمای ۵۵ درجه سانتی گراد مشاهده گردید.

$$0.88 + 0.013(X_1) + 0.016(X_2) - 4.5(X_3) - 0.083 \\ (X_1 X_2) - 0.098(X_1 X_3) - 0.065(X_2 X_3) + \\ 1.90 X_1^2 - 0.014 X_2^2 - 0.056 X_3^2$$

که در این معادله،  $(X_1)$  به عنوان غلظت آنزیم به سوبسترا،  $(X_2)$  به عنوان دمای هیدرولیز و  $(X_3)$  به عنوان زمان انجام هیدرولیز گزارش شده است.

آزمون ANOVA مشخص نمود که مدل چندجمله‌ای درجه دوم به اندازه کافی بیانگر پاسخ، با ضرایب مشخص می‌باشد. ضرایب تعیین واقعی و تعیین تعديل شده عدم برآش ارزیابی کارایی مدل به منظور پیش‌بینی پاسخ‌ها به کار می‌رود. در این پژوهش میزان ضریب تعیین و ضریب تعیین تعديل شده به ترتیب برابر با  $0.9023$  و  $0.8143$  بود. بدست آمدکه اعداد بدست آمده بیانگر توصیف مناسبی از پراکنده‌گی داده‌ها بود. ضریب تعیین برابر  $0.9023$  نشان‌دهنده این است که مدل رگرسیون واکنش را به خوبی توضیح داده و مدل برآش توانسته  $90\%$  درصد از کل تغییرات در دامنه نتایج بدست آمده را توضیح دهد.

**Table 10** Analysis of variance (ANOVA) of quadratic model resulted by response surface method for Ferric reducing activity

Lack of fit	Adj R- Square	R- Square	F value	Mean square	Sum of squares	Degree of freedom	Source
0.5142	0.8143	0.9023	10.26	0.021	0.19	9	Model
			0.87	1.796	1.796	1	A-time
			1.29	2.657	2.657	1	B-tem
			0.098	2.025	2.025	1	C-e/s
			26.75	0.055	0.055	1	AB
			37.29	0.077	0.077	1	AC
			16.28	0.034	0.034	1	BC
			4.864	1.002	1.002	1	$A^2$
			0.25	5.080	5.080	1	$B^2$
			4.12	8.498	8.498	1	$C^2$

رادیکال  $Fe^{3+}$  معنی‌دار بوده و در غلظت‌های کم با افزایش دمای هیدرولیز، سبب افزایش فعالیت مهار کننده‌گی رادیکال  $Fe^{3+}$  شد و در غلظت‌های بالا با کاهش دمای هیدرولیز، منجر به کاهش فعالیت مهار کننده‌گی رادیکال  $Fe^{3+}$  گردید و بیشترین فعالیت مهار کننده‌گی  $Fe^{3+}$  در غلظت ۱ درصد آنزیم به سوبسترا و دمای  $55$  درجه سانتی‌گراد مشاهده گردید.

به طور کلی رادیکال هیدروکسیل قوی‌ترین رادیکال آزاد مشتق شده از اکسیژن می‌باشد که به راحتی می‌تواند با مولکول‌های بیولوژیک نظری اسیدهای آمینه، پروتئین‌ها و DNA واکنش نشان دهد؛ بنابراین حذف رادیکال هیدروکسیل می‌تواند به عنوان یکی از مؤثرترین دفاع‌های سلول‌زنده در برابر بیماری‌های مختلف باشد [۴۵]. تفاوت در میزان مهار کننده‌گی رادیکال OH بین تیمارهای مختلف را می‌توان به تفاوت در نوع اسیدهای آمینه و نیز پروتئین‌های هیدرولیز شده‌ی حاصل از هیدرولیز آنزیم آلکالاز نسبت داد. نتایج حاصل داد که پروتئین‌های هیدرولیز شده‌ی هسته پرتقال، می‌تواند به عنوان اهدا کننده موثر الکترون جهت کاهش رادیکال هیدروکسیل در نظر گرفته شوند [۴۶].

#### ۴-۳-۴ بررسی قدرت احیا کننده‌گی $Fe^{3+}$

معادله زیر با توجه به ضرایب رگرسیونی و معنی‌داری ضرایب برای پاسخ مدنظر (قدرت احیا کننده‌گی  $Fe^{3+}$ ) ارائه شد:

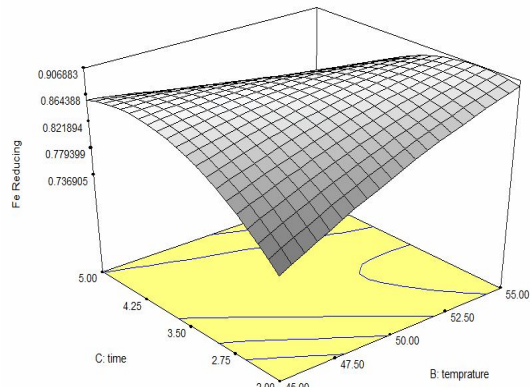
#### قدرت احیا کننده‌گی $Fe^{3+}$

۴-۳-۱-۴ بررسی تغییرات قدرت احیا کننده‌گی  $Fe^{3+}$  با تغییر در غلظت آنزیم آلکالاز به سوبسترا و دمای هیدرولیز نمودار سه بعدی تأثیر غلظت آنزیم آلکالاز به سوبسترا و دمای هیدرولیز (در زمان بهینه  $3/5$  ساعت) بر فعالیت مهار کننده‌گی رادیکال  $Fe^{3+}$  (شکل ۶) نشان می‌دهد که اثر متقابل غلظت آنزیم به سوبسترا و دمای هیدرولیز بر فعالیت مهار کننده‌گی

#### ۴-۳-۳-بررسی تغییرات قدرت احیا کنندگی $\text{Fe}^{3+}$ با تغییر

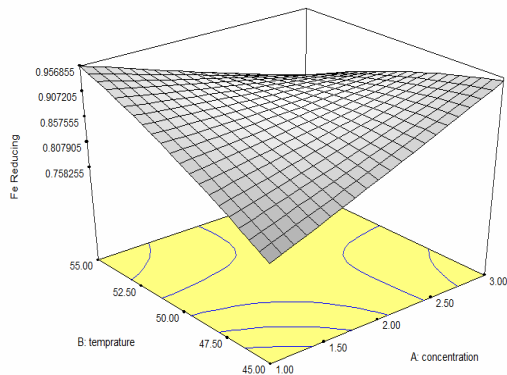
##### در دما و زمان هیدرولیز

نمودار سه بعدی تاثیر دما و زمان هیدرولیز (در غاظت بهینه نسبت آنزیم آلکالاز به سوبسترا ۲ درصد) بر قدرت مهار کنندگی رادیکال  $\text{Fe}^{3+}$  (شکل ۸) نشان می‌دهد که اثر متقابل دما و زمان هیدرولیز بر قدرت مهار کنندگی رادیکال  $\text{Fe}^{3+}$  معنی‌دار بوده و در زمان‌های پایین با افزایش دمای هیدرولیز، منجر به افزایش قدرت مهار کنندگی رادیکال  $\text{Fe}^{3+}$  شد. با افزایش زمان و دمای هیدرولیز، قدرت مهار کنندگی رادیکال  $\text{Fe}^{3+}$  افزایش یافت؛ اگر چه بیشینه زمان و دمای به کار رفته، با کاهش قدرت مهار کنندگی همراه بود. همچین بیشترین قدرت مهار کنندگی  $\text{Fe}^{3+}$  در دمای ۵۳ درجه سانتی‌گراد و زمان ۵ ساعت هیدرولیز مشاهده گردید.



**Fig 8** 3D graph for the effect of temperature and hydrolysis time on the ferric reducing activity when the concentration of alkalase enzymewas at its optimum value (2%).

با توجه به نتایج حاصل از شکل‌های ۶، ۵، ۷، به طورکلی روند افزایشی و کاهشی قدرت احیا کنندگی پروتئین‌های هیدرولیز شده‌ی هسته پرتقال، را می‌توان به نوع و ماهیت آنزیم پروتئازی آلکالاز و شرایط انجام واکنش، اسیدهای آمینه موجود در جایگاه فعل آنزیم و نوع آنزیم به کار گرفته شده جهت انجام هیدرولیز (از نظر اندوپیتیداز یا اگروپیتیداز بودن) نسبت داد؛ که این ویژگی‌ها در نوع پیتیدهای تولید شده و اهدای الکترون جهت احیای یون آهن بسیار موثر می‌باشد [۳۸]. نتایج حاصل از آزمایشات لی و همکاران (۲۰۱۰)، نشان داد که فعالیت آنتی-اکسیدانی پیتیدهای با وزن مولکولی پایین و در محدوده ۱۵۰۰-

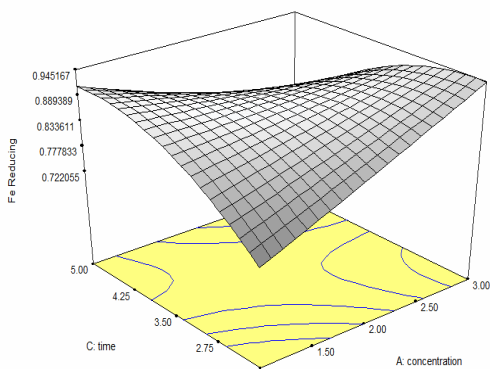


**Fig 6** 3D graph for the effect of concentrationof alkalase enzyme and hydrolysis temperature on the ferric reducing activity when the hydrolysis time was at optimum value (3.5 hr).

#### ۴-۳-۲-بررسی تغییرات قدرت احیا کنندگی $\text{Fe}^{3+}$ با تغییر

##### در غلظت آنزیم آلکالاز به سوبسترا و زمان هیدرولیز

نمودار سه بعدی تاثیر غلظت آنزیم آلکالاز به سوبسترا و زمان هیدرولیز (در دمای بهینه ۵۰ درجه سانتی‌گراد) بر قدرت مهار کنندگی رادیکال  $\text{Fe}^{3+}$  (شکل ۷) نشان می‌دهد که اثر متقابل غلظت آنزیم به سوبسترا و زمان هیدرولیز بر قدرت مهار کنندگی رادیکال  $\text{Fe}^{3+}$  معنی‌دار بوده و در غلظت‌های کم با افزایش زمان هیدرولیز، منجر به افزایش قدرت مهار کنندگی رادیکال  $\text{Fe}^{3+}$  شد. و در غلظت‌های بالا با افزایش دمای هیدرولیز، منجر به کاهش قدرت مهار کنندگی رادیکال  $\text{Fe}^{3+}$  گردید و بیشترین قدرت مهار کنندگی  $\text{Fe}^{3+}$  در غلظت ۱ درصد آنزیم به سوبسترا و زمان ۵ ساعت هیدرولیز مشاهده گردید.



**Fig 7** 3D graph for the effect of concentration ofalkcalase enzyme and hydrolysis time on the ferric reducing activity when the hydrolysis temperature was at its optimum value (50 °C).

پروتئین هیدرولیز شدهی حاصل، نشان داد که بیشترین قدرت احیای یون آهن در طول موج ۷۰۰ نانومتر، در جذب ۰،۴۵ صورت می‌گیرد [۴].

#### ۴-۴ بررسی قدرت آنتی اکسیدانی کل

معادله زیر با توجه به ضرایب رگرسیونی و معنی داری ضرایب برای پاسخ منظر (قدرت آنتی اکسیدانی کل) ارائه شد:

$$\text{قدرت آنتی اکسیدانی کل} = 0.38 - 0.046(X_1) - 0.046(X_2) + 0.017(X_3) + 0.016(X_1X_2) + 0.066(X_2X_3)$$

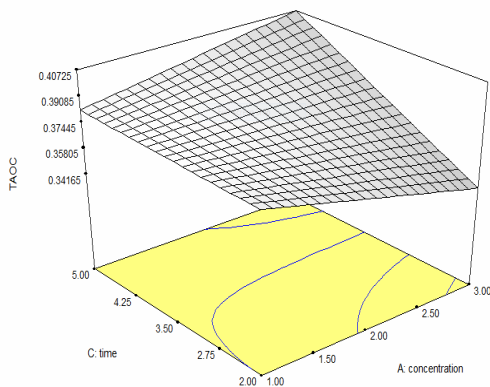
که در این معادله،  $(X_1)$  به عنوان غلظت آنزیم به سوبسترا،  $(X_2)$  به عنوان دمای هیدرولیز و  $(X_3)$  به عنوان زمان انجام هیدرولیز گزارش شده است.

آزمون ANOVA مشخص نمود که مدل چندجمله‌ای درجه دوم به اندازه کافی بیانگر پاسخ، با ضرایب مشخص می‌باشد. ضرایب تعیین واقعی و تعیین تعديل شده و عدم برآش ارزیابی کارایی مدل به منظور پیش‌بینی پاسخ‌ها به کار می‌رود. در این پژوهش میزان ضریب تعیین و ضریب تعیین تعديل شده به ترتیب برابر با ۰/۶۹۲۳ و ۰/۷۲۵۸ بود. بدست آمد که اعداد بدست آمده بیانگر توصیف مناسبی از پراکندگی داده‌ها بود.

۵۰۰ دالتون بسیار قوی‌تر از پیتیدهای با وزن مولکولی پایین‌تر یا بالاتر از این محدوده می‌باشد [۴۷]. لاسود و همکاران (۲۰۱۵)، اعلام کردند علاوه بر اختلاف در شرایط آزمایشگاهی و نوع آنزیم بکار برده شده در فرآیند هیدرولیز، نوع سوبستراتی بکار گرفته شده، توالی اسیدهای آمینه در پیتیدهای تولید شده، درجه هیدرولیز، طول زنجیره پیتیدی و وزن مولکولی پیتیدها، در عملکرد پروتئین‌های هیدرولیز شده و پیتیدها در احیای یون آهن بسیار موثر می‌باشد [۴۸]. نتایج حاصل از آزمایشات نشان داده است که با افزایش غلظت آنزیم، میزان فعالیت آنتی اکسیدانی نیز افزایش می‌یابد [۳۷] و نیز فعالیت آنتی اکسیدانی پیتیدهای تولید شده تا حد زیادی تحت تاثیر ترکیب اسیدهای آمینه تشکیل دهندهی پیتیدها قرار دارد. اسیدهای آمینه آروماتیک دار می‌توانند با دادن الکترون به رادیکال‌های آزاد، باعث تبدیل آن‌ها به فرم پایدار شوند [۴۰]. تفاوت در میزان فعالیت احیا کنندگی یون آهن بین تیمارهای مختلف را می‌توان به حضور پیتیدهای خاص و نیز تفاوت در نوع اسیدهای آمینه‌ی تشکیل دهندهی آن‌ها نسبت داد که می‌توانند با رادیکال‌های آزاد واکنش دهند و فرم پایدار آن‌ها را تولید کنند. نتایج حاصل از هیدرولیز پروتئین جگر ماهی تن توسط پروتئازهای مختلف و بررسی خاصیت احیا کنندگی

**Table 11** Analysis of variance (ANOVA) of quadratic model resulted by response surface method for totaloxidation activity

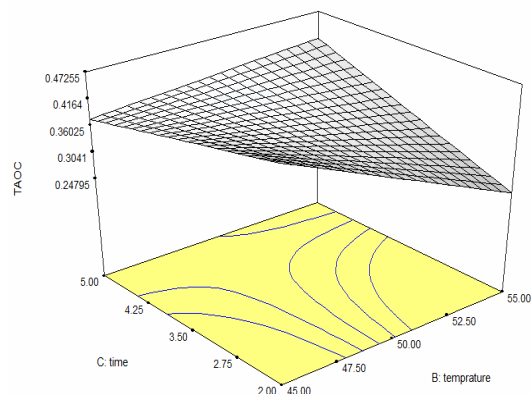
Lack of fit	Adj R- Square	R- Square	F value	Mean square	Sum of squares	Degree of freedom	Source
0.5268	0.7258	0.6923	1.01	0.010	0.061	6	Model
			9.479	9.610	9.610	1	A-time
			2.11	0.021	0.021	1	B-tem
			0.3	2.993	2.993	1	C-e/s
			1.775	1.800	1.800	1	AB
			0.19	1.922	1.922	1	AC
			3.44	0.035	0.035	1	BC
			-	-	-	-	$A^2$
			-	-	-	-	$B^2$
			-	-	-	-	$C^2$



**Fig 9** 3D graph for the effect of concentration of falkalase enzyme and hydrolysis time on the total antioxidant activity when the hydrolysis temperature was at its optimum value ( $50^{\circ}\text{C}$ ).

#### ۴-۴-۳- بررسی تغییرات قدرت آنتی اکسیدانی کلبا تغییر در زمان و دمای هیدرولیز

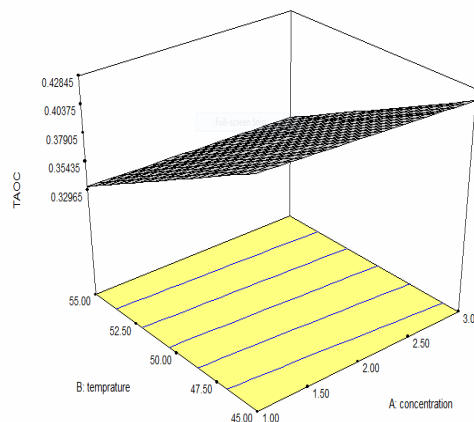
نمودار سه بعدی تاثیر دما و زمان هیدرولیز (شکل ۱۰-۴) (در غلاظت آنزیم آلکالاز به سوبسترا بهینه ۲ درصد) بر فعالیت آنتی اکسیدانی کل نشان می دهد که افزایش دما منجر به کاهش فعالیت آنتی اکسیدانی کل و افزایش زمان منجر به افزایش فعالیت آنتی اکسیدانی کل می گردد.



**Fig 10** 3D graph for the effect of temperature and the hydrolysis time on the total antioxidant activity when the concentration of the alkalase enzyme was at its optimum value (2%).

با توجه به نتایج به دست آمده از شکل های ۸ و ۹، به طور کلی ظرفیت ضد اکسایش کل بر اساس احیاء مولبیدات

۴-۴-۱- بررسی تغییرات قدرت آنتی اکسیدانی کل با تغییر در نسبت آنزیم آلکالاز به سوبسترا و دمای هیدرولیز نمودار سه بعدی تاثیر غلاظت آنزیم آلکالاز به سوبسترا و دمای هیدرولیز (در زمان بهینه  $\frac{3}{5}$  ساعت) بر فعالیت آنتی اکسیدانی کل، در شکل ۴-۸ نشان می دهد که اثر متقابل غلاظت آنزیم به سوبسترا و دمای هیدرولیز بر فعالیت آنتی اکسیدانی کل معنی دار نبوده و افزایش دمای هیدرولیز منجر به کاهش و افزایش نسبت غلاظت آنزیم به سوبسترا، منجر به افزایش فعالیت آنتی اکسیدانی کل گردید. بیشترین آنتی اکسیدانی کل در غلاظت ۲/۸۶ درصد حجمی - وزنی آنزیم به سوبسترا و دمای  $46.47^{\circ}\text{C}$  درجه سانتی گراد مشاهده گردید.



**Fig 8** 3D graph for the effect of concentration of falkalase enzyme and hydrolysis temperature on the total antioxidant activity when the hydrolysis time was at its optimum value (3.5hr).

#### ۴-۴-۲- بررسی تغییرات قدرت آنتی اکسیدانی کلبا تغییر در نسبت آنزیم آلکالاز به سوبسترا و زمان هیدرولیز

نمودار سه بعدی تاثیر غلاظت آنزیم آلکالاز به سوبسترا و زمان هیدرولیز (در دمای بهینه  $50^{\circ}\text{C}$  درجه سانتی گراد) بر فعالیت آنتی اکسیدانی کل در شکل ۹ نشان می دهد افزایش زمان هیدرولیز، منجر به افزایش فعالیت آنتی اکسیدانی کل شد و افزایش غلاظت نیز تا حدودی منجر به افزایش فعالیت آنتی اکسیدانی کل گردید و بیشترین فعالیت آنتی اکسیدانی کل در غلاظت ۰/۰۲۳۹ نسبت آنزیم به سوبسترا و زمان  $4/80$  ساعت هیدرولیز مشاهده گردید.

## ۵- نتیجه گیری

شرایط بهینه توسط نرم افزار Design Expert به دست آمد. شرایط هیدرولیز برای پروتئین هیدرولیز شده با فعالیت بهینه (قدرت مهار کنندگی رادیکال DPPH، قدرت مهار کنندگی رادیکال OH، قدرت احیا کنندگی  $\text{Fe}^{3+}$  و ظرفیت آنتی رادیکال  $\text{OH}$ )، قدرت احیا کنندگی  $\text{Fe}^{3+}$  و ظرفیت آنتی اکسیدانی کل) توسط آنزیم آلکالاز، تیمار تهیه شده در دمای ۵۴/۸ درجه سانتی گراد، زمان ۳/۳۵ ساعت و نسبت آنزیم به سوپسترا ۱/۷ درصد حجمی - وزنی بود که با درجه مقبولیت  $^{*}100$  درصد منطبق با  $4/44$  درصد قدرت مهار رادیکال های آزاد  $90/99$ ، DPPH  $93/72$  درصد قدرت مهار رادیکال های  $\text{OH}$  درصد قدرت احیا کنندگی  $\text{Fe}^{3+}$  و  $32/5$  درصد ظرفیت آنتی اکسیدانی کل بود. به منظور تایید شرایط پیشنهاد شده توسط معادله ریاضی، آزمایش های اضافی (در سه تکرار) در شرایط پیش بینی شده (دمای  $54/8$  درجه سانتی گراد، زمان  $3/35$  ساعت و نسبت آنزیم به سوپسترا  $1/7$  درصد حجمی - وزنی) توسط مدل اجرا گردید که مقادیر  $45/85$  درصد برای قدرت مهار رادیکال های آزاد  $91/82$  درصد برای قدرت مهار رادیکال های  $\text{OH}$ ، DPPH  $89/35$  درصد برای قدرت احیا کنندگی  $\text{Fe}^{3+}$  و  $39/68$  درصد برای ظرفیت آنتی اکسیدانی کل به دست آمد. مقادیر آزمایشی تا حد بالای مطابق با مقادیر پیش بینی شده توسط مدل بود که بیان گر شرایط بهینه جهت تولید پروتئین هیدرولیز شده با ویژگی آنتی اکسیدانی از آرد چربی گیری شده هسته پر تقالب بود. تحقیق حاضر نشان داد که از طریق بهینه کردن شرایط هیدرولیز امکان تولید پیتیدهایی با قدرت آنتی اکسیدانی بالا و قابل استفاده در مواد غذایی وجود دارد و بنابراین ضایعات صنعت تولید آب میوه پر تقالب می تواند به عنوان یک محصول در دسترس، به صورت یک منبع پروتئینی جدید جهت تولید پروتئین هیدرولیز شده مورد استفاده قرار گیرد و با در نظر گرفتن فعالیت آنتی اکسیدانی بالقوه در هسته پر تقالب می توان از آن به جای آنتی اکسیدان های سنتزی و سایر نگهدارنده های شیمیایی جهت به تاخیر انداختن اکسیداسیون استفاده نمود.

توسط نمونه و تولید کمپلکس مولیبدات / فسفات سبز رنگ در شرایط اسیدی است [۴۹]. به طور کلی آنزیم آلکالاز یک نوع آنزیم اندوپیتیداز است که می تواند پیوندهای پیتیدی را از داخل زنجیره بشکند و منجر به رها سازی الگوپیتید و یا پلی پیتیدهای با طول زنجیره متوسط تا کوتاه و نیز پیتیدهایی حاوی اسیدهای آمینه آبگریز گردد [۵۰]. نتایج حاصل از پژوهش نشان داد که حضور اسیدهای آمینه آبگریز نظیر اسید آمینه والین، فینیل آلانین، ایزو لوسمین و لوسمین در پروتئین های هیدرولیز شده با آنزیم آلکالاز نقش بسیار مهمی در فعالیت آنتی اکسیدانی کل داردند [۵۰]. در بررسی پروتئین هیدرولیز شده نوعی کوسه ماهی (*Mustelus mustelus*) با استفاده از آنزیم های پروتئاز قلیایی، پیسین و تریپسین، نتایج حاصل نشان داد که با افزایش غلظت آنزیم و درجه هیدرولیز، ویژگی آنتی اکسیدانی کل در نمونه های هیدرولیز شده نیز افزایش می یابد و بیشترین میزان فعالیت در غلظت  $3 \text{ mg/ml}$  آنزیم آلکالاز گزارش شد [۵۱].

بر اساس نتایج به دست آمده ای این پژوهش و سایر پژوهش های انجام شده، می توان به این نتیجه رسید که آنزیم آلکالاز منجر به هضم شدن باندهای پیتیدی از طریق شکستن پیوند میان اسیدهای آمینه آبگریز مانند لوسمین و اسیدهای آروماتیک مانند فنیل آلانین، تریپتوفان و تیروزین با سایر اسیدهای آمینه می گردد و اعتقاد بر این است گروه فنیل در انتهای باقیمانده زنجیره پیتیدی دارای قابلیت مهار رادیکال و خاصیت آنتی اکسیدانی می باشد [۵۲]. هم چنین اعتقاد بر این است که تخریب ساختار طبیعی پروتئین ها در اثر هیدرولیز آنزیمی منجر به باز شدن ساختار و قرار گیری در معرض گروه های فعال آمینواسیدی که قابل واکنش با رادیکال های آزاد می باشند، خواهد شد [۵۲]. این موضوع به اثبات رسیده است که رابطه مستقیمی میان قدرت مهار رادیکال و آنتی اکسیدانی و قابلیت هیدرولیز دهنده ای آمینواسیدها وجود دارد. تغییر در طول زنجیره های پیتیدی با گذشت زمان هیدرولیز نیز تاثیر بسزایی در قدرت ضد اکسایش دارد و پیتیدهای با وزن مولکولی پایین دارای فعالیت ضد اکسایش قوی تری هستند [۵۲].

**Table 12** The selection of the proposed optimal treatment with the appropriate antioxidant activity for the hydrolysed orange seed proteins derived from the enzymatic hydrolysis using alcalase enzyme

Desirability	Total Oxidation	Fe reducing	OH Scavenging	DPPH Scavenging	Time	Temperature	Concentration
1	0.325076	0.909951	93.7213	44.4498	3.34	54.84	1.69

Evaluation using the human Jurkat T cell line.  
Int Dairy J. 21, 777-782.

- [10] Cumby N, Zhong Y, Naczk M, Shahidi F. (2008). Antioxidant activity and water-holding capacity of canola protein hydrolysates. Food Chemistry 109(1): 144-148.
- [11] Wiriayaphan, C., Chitsomboon, B., Yongsawadigul, J. (2012). Antioxidant activity of proteinhydrolysates derived from threadfin bream surimi byproducts. *FoodChemistry*. 132:104-111.
- [12] Khantaphant, S., Benjakul, S. (2008). Comparative study on the proteases from fish pyloric caecaand the use for production of gelatin hydrolysate with antioxidative activity. *ComparativeBiochemistry and Physiology*. 151, 110-115.
- [13] Bougatef A., Hajji. M., Balti.R. (2010). Antioxidant and free radical – scavenging activities of smooth hound muscle protein hydrolysates obtained by gastro intestinal proteases. *Food Chemistry*.1198-1255.
- [14] Guerar, F., Guimas, I., Binet, A. (2002). Production of tuna waste hydrolysates by acommercial neutral protease preparation. *Journal of Molecular catalysis B: Enzymatic*.19, 489-498.
- [15] Je, J. Y., Lee, M. H., Lee, K. h. Ahn, C. B. (2009). Antioxidant and hypertensive proteinhydrolysates produced from tuna liver by enzymatic hydrolysis. *Food ResIntern*.42, 1266-1272.
- [16] FAO UNCTAD (2004). From FAO data sited from: UNCTAD from FAO data (2004).
- [17] Mohamed, B., El-Shenawi, M. (2013). Functional properties and In-vitro digestibility of bitter orange (*Citrus aurantium*) seed flour. *Merit Research Journal of Agricultural Science and Soil Sciences*. 1(3): 042- 047.
- [18] Samia El-Safy, F., Rabab, H., Abd El-Ghany, M.E. (2012). Chemical and Nutritional Evaluation of Different Seed Flours as Novel Sources of Protein. *World Journal of Dairy & Food Sciences* 7 (1): 59-65.

## ۶- منابع

- [1] Jamdar. S. N., Rajalakshmi, V., Pedhekar, M. D., Juan, F., Yardi, V., Sharma, A. (2010). Influence of degree of hydrolysis on functional properties, antioxidant activity and ACE inhibitor activity of peanut protein hydrolysate. *Food Chem*. 121, 178-184.
- [2] Penas, E., Prestamo, G., Gomez, R. (2004). High pressure and the enzymatic hydrolysis of soybean whey proteins. *Food Chem*. 85, 641-648.
- [3] Taha, S. F., Mohamed, S. S., Wagdy M. S., Mohamed, F. G. (2013). Antioxidant and antimicrobial activities of enzymatic hydrolysis products from sunflower protein isolate. *World ApplSci J*. 21, 651-658.
- [4] Sharma, S., Singh, R., Rana, S. (2011). Bioactive Peptides: A Review. *Int J Bioautomation*. 15, 223-250.
- [5] Korhonen, H., Pihlanto, A. (2006). Bioactive peptides: production and functionality. *Int Dairy J*. 16, 945-960.
- [6] Samaranayaka, G. P. A., Li-Chan, C. Y. E. (2011). Food-derived peptidic antioxidants: A review of their production, assessment, and potential applications. *J Fun Foods*. 3, 229-254.
- [7] Torruco-Uco, J., Chel-Guerrero, L., Martínez-Ayala, A., Da'vila-Ortíz, G., Betancur-Ancona, D. (2009). Angiotensin converting enzyme inhibitory and antioxidant activities of protein. *LWT - Food Sci Technol*. 42, 1597-1604.
- [8] Sarmadi, B. H., Ismail, A. (2010).Antioxidative peptides from food proteins: a review. *Peptides*. 31:1949-1956.
- [9] Takenaka, A., Annaka, H., Kimura, Y., Aoki, H., Igarashi, K. (2003). Reduction of paraquat-induced oxidative stress in rats by dietary soy peptide. *BiosciBiotechnolBiochem*. 67, 278-283.
- [10] Lahart, N., O'Callaghan, Y., Aherne, S. A., O'Sullivan, D. (2011). Extent of hydrolysis effects on casein hydrolysate bioactivity:

- hydrolysate. *Food Chemistry*. 138(2): 1713-1719.
- [29] Umayaparvathia, S., Meenakshia, S., Vimalrajb, V., Arumugama, M., Sivagamic, G., Balasubramaniana, T. (2014). Antioxidant activity and anticancer effect of bioactive peptide from enzymatic hydrolysate of oyster (*Saccostreacucullata*). *Biomedicine & Preventive Nutrition*. 4: 343-353.
- [30] Chang-Feng, Ch., Fa-Yuan, H., Bin, W., Tao, L., Guo-Fang, D. (2015). Antioxidant and anticancer peptides from the protein hydrolysate of blood clam (*Tegillarcaganosa*) muscle. *Journal of Functional Foods*. 15: 301-313.
- [31] Prieto, P., Pineda, M., & Aguilar, M. (1999). Spectrophotometric quantitation of antioxidant capacity through the formation of a phosphomolybdenum complex: specific application to the determination of vitamin E. *Analytical biochemistry*, 269: 337-341.
- [32] Zhu, K.X., Zhou, H.M., Qian, H.F. (2006b). Proteins Extracted from Defatted Wheat Germ: Nutritional and Structural Properties. *Cereal Chemistry*, 83: 1. 69-75.
- [33] Nasri, N. A., Tinay, A. H. E. (2007). Functional properties of fenugreek (*Trigonellafoenumgreacum*) protein concentrate. *Food Chemistry*, 103:582-589.
- [34] Adebowale, K. O., Lawal, O. S. 2004. Comparative study of the functional properties of bambara groundnut (*Voandzeia subterraneana*), jack bean (*Canavaliaensiformis*) and mucuna bean (*Mucunapruriens*) flour. *Food Research International*, 37:355-365.
- [35] Chau, C. F., Cheung, P. C. K. 1998. Functional properties of flours prepared from three Chinese indigenous legume seeds. *Food Chemistry*, 61:429-433.
- [36] Taha, F.S., Mohamed, S.S., Wagdy, S.M., and Mohamed, G.F. (2013). Antioxidant and antimicrobial activities of enzymatic hydrolysis products from sunflower protein isolate. *World Applied Science Journal*. 21: 5.651-658.
- [37] Guerar, F., Guimas, I., Binet, A. (2002). Production of tuna waste hydrolysates by acommercial neutral protease preparation. *Journal of Molecular catalysis B: Enzymatic*.19, 489-498.
- [19] Kaur, M., Singh, N. (2007). Characterization of protein isolates from different Indian chickpea (*Cicerarietinum L.*) cultivars. *Food Chemistry*, 102:366-374.
- [20] Papalamprou, E.M., Doxastakis, G.I., Biliaderis C.G., Kiosseoglou, V. (2009). Influence of preparation methods on physicochemical and gelation properties of chickpea protein isolates. *Food hydrocolloid*, 23: 337-43.
- [21] AOAC Method 983.23. (1990). Fat in foods, chloroform-methanol extraction. *InOfficial methods of analysis (15th ed., pp. 101-111)*. Washington, DC, USA:Association of Official Analytical Chemists.
- [22] Kinsella, J.E. 1976. Functional properties of proteins in foods: A survey. *CRC Critical Reviews inFood Science and Nutrition*, 7: 219-280.
- [23] Bradford, MM. (1976). A rapid and sensitive method for the quantitation of microgram quantities of protein utilizing the principle of protein-dye binding. *Analytical Biochemistry*, 72: 248- 54.
- [24] Horax, R., Hettiarachchy, N., Over, K., Chen, P., Gbur, E. (2010). Extraction, fractionation and characterization of Bitter Melon seed proteins. *Journal of Agricultural and Food Chemistry*, 58: 1892-1897.
- [25] Villanueva, A., Vioque, J., Sánchez-Vioque, R., Clemente, A., Pedroche, J., Bautista, J., Millán, F. (1999). Peptide Characteristics of Sunflower Protein Hydrolysates. *Journal of the American Oil Chemists Society*. 76: 1455-1460.
- [26] Guo, H., Kozuma, Y., &Yonekura, M. (2005). Isolation and properties of antioxidative peptides from water-soluble royal jelly protein hydrolysate. *Food Science Technology Research*. 11. 222–230.
- [27] Matsuoka,T., Kawashima,T., Nakamura, T.,Kanamaru,Y., Yabe, T. (2012). Isolation and characterization of proteases that hydrolyze royal jelly proteins from queen bee larvae of the honeybee, *Apismellifera*. *Apidologie*.43:685-697.
- [28] Wang, B., Li, L., Chi, C. F., Ma, J. H., Luo, H. Y., Xu, Y. F. (2013). Purification and characterization of a novel antioxidant peptide derived from blue mussel *Mytilusedulis* protein

- [46] Shuguo, S., Meihu, M., Qinlu, L., Tao, Y., Huihui, N. (2013). Systematic Investigation of Antioxidant Activity of Egg White Protein Hydrolysates Obtained by Pepsin. *Advance Journal of Food Science and Technology*. 5(1): 57-62.
- [47] Lee, S. H., Qian, Z. J., Kim, S. K. (2010). A novel angiotensin I converting enzyme inhibitory peptide from tuna frame protein hydrolysate and its antihypertensive effect in spontaneously hypertensive rats. *Food Chemistry*. 118, 96-102.
- [48] Lassoued, I., Mora, L., Nasri, R., Aydi, M., Toldrá, F., Aristoy, M., C., Barkia, A., Nasri, M. (2015). Characterization, antioxidative and ACE inhibitory properties of hydrolysates obtained from thornback ray (*Raja clavata*) muscle. *Journal of Proteomics*. 115, 28- 37.
- [49] Yang, B., Yang, H., Li, J., Li, Z., Jiang, Y. (2011). Amino acid composition, molecular weight distribution and antioxidant activity of protein hydrolysates of soy sauce lees. *Food Chemistry*. 124: 551-555.
- [50] Torruco-Uco, J., Chel-Guerrero, L., Martínez-Ayala, A., Da'vila-Ortíz, G., Betancur-Ancona, D. (2009). Angiotensin converting enzyme inhibitory and antioxidant activities of protein. *LWT - Food Sci Technol*. 42: 1597-1604.
- [51] Bougatef, A., Hajji, M., Balti, R., Lassoued, I., Triki-Ellouz, Y., Nasri, M. (2009). Antioxidant and free radical-scavenging activities of smooth hound (*Mustelus mustelus*) muscle protein hydrolysates obtained by gastrointestinal proteases. *Food Chemistry*, 114: 1198-1205.
- [52] Sun, Q., Shen, H., Leu, Y. 2011. Antioxidant activity of hydrolysates and peptide fractions derived from porcine hemoglobin. *Journal of Food Science and Technology*, 21: 6646-6652.
- [38] Oveisipour, M., Abedian, A. M., Motamedzadegan, A., Rasco, B., Safari, R., Shahiri, H. (2009). The effect of enzymatic hydrolysis time and temperature on the properties of protein hydrolysates from the Persian sturgeon (*Acipenser persicus*) viscera. *Food Chemistry*. 115, 238-242.
- [39] Jin, D.X., Liu, X., Zheng, X., Wang, X., He, J. (2016). Preparation of antioxidative corn protein hydrolysates, purification and evaluation of three novel corn antioxidant peptides. *Food Chemistry*. 204, 427-436.
- [40] Je, J. Y., Lee, M. H., Lee, K. h. Ahn, C. B. (2009). Antioxidant and hypertensive protein hydrolysates produced from tuna liver by enzymatic hydrolysis. *Food Research International*. 42, 1266-1272.
- [41] Yan, Q. J., Huang, L. H., Sun, Q., Jiang, Z. Q., Wu, X. (2015). Isolation, identification and synthesis of four novel antioxidant peptides from rice residue protein hydrolysed by multiple proteases. *Food Chemistry*. 179, 290-295.
- [42] Taha, S. F., Mohamed, S. S., Wagdy M. S., Mohamed, F. G. (2013). Antioxidant and antimicrobial activities of enzymatic hydrolysis products from sunflower protein isolate. *World Applied Sciences Journal*. 21: 651-658.
- [43] Sogi, D. S. (2001). Functional properties and characterization of tomato waste seed proteins. PHD Thesis. Amritsar, India: Guru Nanak Dev Univ. 69-95.
- [44] Jamdar, S. N., Rajalakshmi, V., Pednekar, M. D., Juan, F., Yardi, V., Sharma, A. (2010). Influence of degree of hydrolysis on functional properties, antioxidant activity and ACE inhibitory activity of peanut protein hydrolysate. *Food Chemistry*. 121, 178-184.
- [45] Qian, Z.J., Jung, W. K., Byun, H. G., Kim, S. K. (2008). Protective effect of an antioxidant peptide purified from gastrointestinal digests of oyster, *Crassostrea gigas* against free radical induced DNA damage. *Bioresource Technol*. 99: 3365-3371.

## **Determination of optimum conditions for production of antioxidant peptides derived from hydrolysis of orange seed protein with alkalase enzyme**

**Mazloomi, S. N.<sup>1</sup>, SadeghiMahoonak, A.<sup>2\*</sup>, Ghorbani, M.<sup>3</sup>, Houshmand, Gh.<sup>4</sup>**

1. PhD Student of food chemistry., Department of Food Science & Technology, Gorgan University of Agricultural Sciences & Natural Resources, Gorgan, Iran.
2. Associate Professor, Department of Food Science & TechnologyGorgan University of Agricultural Sciences & Natural ResourcesGorgan, I.R. Iran.
3. Associate Professor,Department of Food Science & Technology, Gorgan University of Agricultural Sciences & Natural Resources, Gorgan, I.R. Iran.
4. Department of Pharmacology, School of medicine, Mazandaran University of Medical Sciences, Sari, Iran.

**(Received: 2019/01/12 Accepted:2019/04/20)**

The use of enzymes for hydrolysis of protein sources is one of the common methods in the food processing. A hydrolysed protein is a complex mixture of peptides and amino acids that are obtained from hydrolysis by various enzymes, acids or alkali. The orange seed is largely available from the orange juice industrieswastes, and its defatted flour contains about 26% protein and can be used as a rich and cost-effective source for production of proteins and peptides of plant sources. In the present study, a protein isolate with high purity was extracted from defatted orange seed flour and then the protein was hydrolysed by using Alcalase enzyme in concentrations of 1, 1.5 and 3% and the hydrolysis time of 2-5 hours at temperature of 45-55 °C atsuitable pH for enzyme activity. Then the optimal conditions for the production of hydrolysed proteins with the highest antioxidant properties (DPPH radical scavenging activity, radical OH scavenging activity, ferric reducing activity and total antioxidant) were determined. Optimum treatment at determined conditions (temperature 54.8 °C, time 3.35 hr and ration of the enzyme to the substrate 1.7 % v/w) with antioxidant properties (DPPH radical scavenging activity (45.85%), radical OH scavenging activity (91.82%), ferric reducing activity (89.35%) and total antioxidant (39.68%),Based on the optimization of response surface method,was obtained and antioxidant tests were performed on the optimal treatment for confirmation of the proposed values by software. The results showed that the hydrolysed protein derived from orange seed could be used in the foods formulation as a natural additive and also it can be used as a nutraceuticalwith high antioxidant ability.

**Key words:** Orange Seed Protein, Hydrolysed protein, Peptide, Antioxidant,

---

\* Corresponding Author E-Mail Address:sadeghiaz@yahoo.com